

การประชุมวิชาการเครือข่ายวิศวกรรมเครื่องกลแห่งประเทศไทยครั้งที่ 14  
2-3 พฤศจิกายน 2543 โรงแรม โนโวเทล เชียงใหม่

## การประเมินภาระทางอากาศพลศาสตร์บนใบพัดกังหันลมด้วยวิธีพานิช Investigation of aerodynamic loads on wind mill blades using panel method.

นิรපงษ์ สองเศรษฐ์ และ อุดมเกียรติ นันทแก้ว  
ศูนย์วิจัยวิศวกรรมคำนวณชั้นสูง(ศคส.) ภาควิชาวิศวกรรมเครื่องกล สถาบันเทคโนโลยีพระจอมเกล้าพระนครเหนือ  
1518 พิบูลสงคราม บางซื่อ กรุงเทพฯ 10800  
โทรศัพท์ (02) 9132500 ต่อ 8308, โทรสาร (02) 5870026, E-Mail:nirapong@hotmail.com

Nirapong Songkro and Udomkiert Nontakeew

Research centre for advance computational engineering(Race). Department of Mechanical Engineering  
King Mongkut's Institute of Technology North Bangkok  
Bangkok 10800, Thailand  
Tel.: 662-9132500 ext. 8308 Fax.: 662-5870026

### บทคัดย่อ

วิธีพานิชเป็นเทคนิคการหาค่าวนวนสนามการไหลของ การไหลดักภายนอกหนึ่งที่ใช้กันอย่างได้ผลมากในการ ประมาณหาภาระทางอากาศพลศาสตร์บนปีกเครื่องบิน และ ปัญหาที่เกี่ยวข้องกับการไหลรอบๆดัวเรือ ในงานวิจัยที่จะนำเสนอต่อไปนี้จะประยุกต์ใช้วิธีพานิชมาคำนวนหาค่าการ กระจายความดันและสัมประสิทธิ์แรงยกบนใบพัดกังหันลม ผิดตระหายและฟื้นฟื้น ทำการกระจายของความดันจะนำไปเป็นข้อมูลในการทำนายการผิดดุลในการคำนวนความแข็งแรง ของใบพัดกังหันลม โดยที่นำไปสู่ภาระอากาศพลศาสตร์บนใบพัดกังหันจะเป็นพังก์ชันของรูปทรงเลขากณิตของใบพัด เช่น โปรไฟล์ของใบพัด การผันแปรของความยาวคอร์ดและรูปแบบการปิดทองใบพัด จำนวนใบพัด ความเร็วลม มุม ปะทะ และความรอนการหมุนของใบพัด เป้าหมายของการ คำนวนคือการหารูปแบบของค่าประกอนของกังหันที่ให้กำลังสูง สุด โดยที่ข้อต้องการคือความเร็วของใบพัดกังหันที่มี ความยืดหยุ่นในการเปลี่ยนแปลงโครงสร้างรูปแบบของใบพัด สามารถทำได้ง่าย และเมื่อพัฒนาโปรแกรมจนมีความถูกต้องแม่นยำเพียงพอแล้วจะทำให้สามารถลดจำนวนการลองผิดลองถูกที่ไม่จำเป็นลงได้ในขั้นตอนการออกแบบกังหันลม

### Abstract

Panel method is the numerical technique being suitable for flow fields calculation in potential flows. This method is used with great success in prediction of aerodynamic loads on wings and computation of hydrodynamic flows around ship hull. In present study, panel method is developed to calculate the pressure distribution lift coefficient on blades of electrical generator windmill. The pressure distribution is need for predicting blade deformation in blade design. Lift coefficient is used to compute torque and blade power produced by windmill. Generally, aerodynamic loads on windmill blade depend upon blade geometry (section profile, variation of chord length, twist), number of blade, free stream velocity, incident angle and rotating speed. Objective of calculation is to find appropriate windmill configuration that give maximum output power. Advantage of using panel method is flexible to change blade geometry and flow parameters. This should aid the windmill designer in decreasing the number of unnecessary trials.

## 1. บทนำ

การคำนวณทางอากาศทางอากาศพลศาสตร์บนใบพัดกังหันลม เพื่อที่จะเปรียบเทียบหากค่าสัมประสิทธิ์ของแรงดันและค่าสัมประสิทธิ์ของแรงยก ด้วยการใช้วิธีพาเนล การคำนวณด้วยวิธีนี้ตั้งสมมติฐานที่มีค่าเรย์โนล์สอยู่สูง แต่ค่ามักน้อยกว่า 0.3 การให้ผลลัพธ์เป็นผิวน้ำในพัดและเวก ล้อมรอบใบพัดและเวก โดยจะคำนวณการไหลที่ขอนเขดของผิวล้อมรอบซึ่งเป็นการไหลแบบศักยะ เนื่องจากวิธีนี้ทำการคำนวณจากผิวล้อมรอบในพัดกังหันลมที่เป็นวัตถุวางการไหล โดยทำการแบ่งผิวเป็นพานเล็กๆ

ความเป็นมาของวิธีที่ใช้ในการคำนวณทางอากาศและพลังงานจากลมด้วยกังหันลม เริ่มจากแบบจำลองแอคทูเตอร์ดิส(Actuator disk model) ซึ่งเป็นแบบจำลองกังหันลมอย่างง่ายที่ใช้สมการโมเมนตัมคำนวณหาพลังงาน และต่อมาได้พัฒนาเป็นทฤษฎีเบรตอัลเมนต์(Blade-element theory) ทฤษฎีสตริป(Strip theory) และทฤษฎีวอร์เทก(Vortex theory) ที่อ้างอิงจาก[1]และ[2] ซึ่งในงานวิจัยนี้เป็นการประยุกต์วิธีพาเนลที่มาจากทฤษฎีวอร์เทก การคำนวณด้วยวิธีพาเนลใช้ในงานอากาศยาน คำนวณแพนอากาศ [3] ตัวอย่างงานที่คำนวณใบพัดที่หมุน ได้แก่ งานของ Morino[4] และ Preuss[5]

สำหรับการใช้วิธีนี้มาคำนวณกับใบพัดกังหันลม ค่าตัวแปรหนึ่งที่มีผลกระทบอย่างมากในการคำนวณคือ รูปร่างและมิติของใบพัด ค่าความเร็วเชิงมุมในการหมุนของใบพัดกังหันลม ซึ่งการคำนวณจะทำการจัดรูปร่างไฟล์หน้าตัดของใบพัดกังหันลม คำนวณสัมประสิทธิ์ของกำลัง คำนวณภาระบนใบพัดกังหันลม และจะได้รูปร่างแบบของใบพัดกังหันลมที่จะนำไปสู่การสร้างแบบจริงได้

## 2. ทฤษฎีในการวิเคราะห์

### 2.1 การไหลแบบศักยะ(Potential flow)

ในการวิเคราะห์กำหนดให้สามารถการไหลที่ล้อมรอบด้วยเส้นปิดเป็นการไหลแบบศักยะ และ ค่าศักยะ  $\Phi$  เกิดจากการเห็นใจของผิวนของขอบเขตที่ล้อมรอบสนามการไหล โดยที่การไหลเป็นแบบอัตโนมัติ อยู่ในสภาวะคงตัว ขอบเขตของไหลจะอยู่เส้นล้อมรอบที่ผิวนของใบพัดและเวก(Wake) กับขอบเขตผิวอิฐที่หนึ่งที่ล้อมรอบไปสู่infinity ดังในรูปที่ 1 ค่าศักยะภายในปริมาตรของขอบเขต เกิดขึ้นเนื่องจาก

การเห็นใจของค่าศักยะบนผิวปิดล้อมรอบ เนื่องเป็นสมการศักยะได้ดังนี้

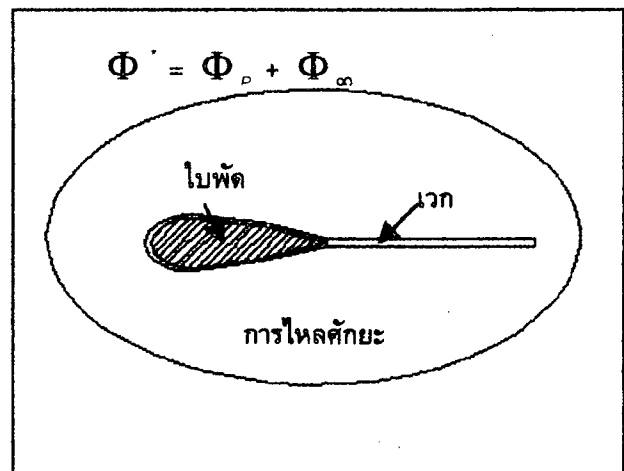
$$\Phi' = \Phi_p + \Phi_\infty \quad (1)$$

โดยที่

$\Phi'$  เป็นศักยะรวม

$\Phi_p$  เป็นศักยะที่เกิดจากการเห็นใจของผิวในพัดและเวก

$\Phi_\infty$  เป็นศักยะที่เกิดจากการเห็นใจของผิวที่ล้อมรอบสนามการไหลที่อินฟินิตี้(Infinity)



รูปที่ 1 แสดงขอนเขดที่ล้อมรอบการไหลแบบศักยะ

พังก์ชันศักยะแต่ละตัวสอดคล้องกับสมการลากลาก  $\nabla^2\Phi = 0$  ซึ่งอ้างอิงเอกลักษณ์ของกรีน[3] ที่ใช้แก้ปัญหาทางอากาศพลศาสตร์ ที่เกิดจากการเห็นใจเมื่อไหลผ่านใบพัด เนื่องเป็นสมการศักยะดังนี้

$$\Phi_p = -\frac{1}{4\pi} \iint_{S_e} \left[ \sigma \left( \frac{1}{r} \right) - \mu \vec{g} \cdot \nabla \left( \frac{1}{r} \right) \right] dS + \frac{1}{4\pi} \iint_{S_e} \mu \vec{g} \cdot \nabla \left( \frac{1}{r} \right) dS \quad (2)$$

โดยที่

$r$  เป็นผิวที่ล้อมรอบใบพัด

$\vec{g}$  เป็นผิวของเวกที่เกิดที่ทางออก Trailing edge

ค่าซอร์ซ(Source  $\sigma$ )จะเป็นค่าของอนุพันธ์ย่อของเวก เตอร์ตั้งจาก  $\vec{g}$  ที่ผิวของวัตถุ และค่าของดับเบลต์(Doublet  $\mu$ ) เป็นค่าของศักยะที่อ้างอิง

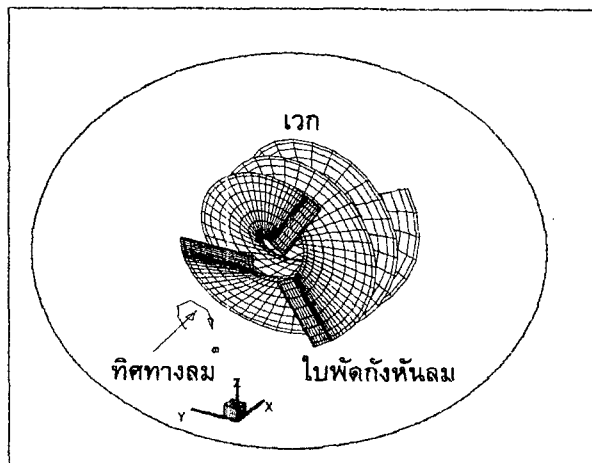
$$\sigma = \frac{\partial \Phi}{\partial n} \text{ หรือ } \sigma = \nabla \Phi \cdot \vec{n} \quad (3)$$

$$\mu = \Phi \quad (4)$$

## 2.2 การประยุกต์กับกังหันลม

ในการวิเคราะห์กังหันลมจะกำหนดให้กังหันลมมีรูปแบบเหมือนปีกของเครื่องบิน รูปร่างหน้าตัดเป็นแบบแพนอากาศและนำมามุนรอบแกน ในการคิดคำนวณจะต้องแยกอ้างอิงไว้บนใบพัดให้หมุนไปพร้อมๆ กับใบพัดกังหันลม ดังนั้นจะเกิดความเร็วสัมพันธ์จากการหมุนของใบพัดซึ่งจะทำให้เวกที่เกิดขึ้นหมุนเป็นเกลียว ดังในรูปที่ 2 แสดงขอบเขตถัดล้อมรอบการหมุนของกังหันลมสามใบ ใน การกำหนดความเร็วลมที่ไหลเข้าใบพัดกังหันลมเพื่อใช้ในการคำนวณจะเป็นความเร็ว สัมพัทธ์  $\vec{U}_r = \vec{U}_\infty - \vec{V}$  ความเร็วนี้เกิดจากการนำความเร็วเชิงมุมของกังหันลมมาหารอสปอร์ดัช์กับเวกเตอร์ตำแหน่งที่ตั้งจากกับแกนหมุนของกังหันลม และค่าความเร็วสัมพัทธ์ที่เกิดจากการกำหนดแกนให้หมุนไปพร้อมๆ กับกังหันลมจะได้ดังสมการ

$$\vec{U}_r = \vec{U}_\infty - \vec{V}, \quad (5)$$



รูปที่ 2 แสดงขอบเขตที่ล้อมรอบกังหันลมที่กำลังหมุน

ดังนั้นค่าของซอสที่ได้จะเท่ากับความเร็วสัมพัทธ์ของที่ตำแหน่งผิวทำดอสไปร์ดัช์กับเวกเตอร์ตั้งจากที่ตำแหน่งผิวนั้น  $\sigma = \vec{U}_r \cdot \vec{n}$

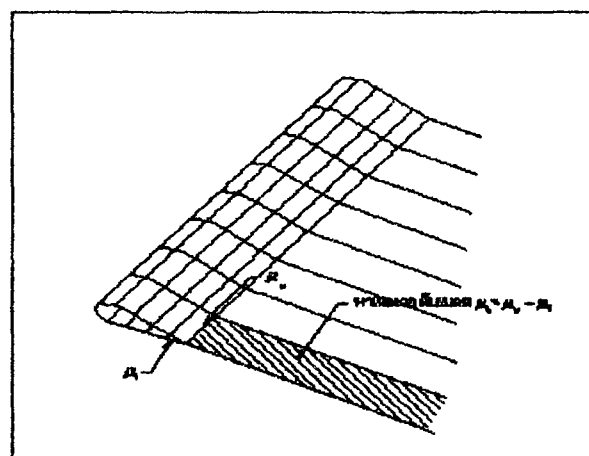
## 2.3 เฟื่องไนของขอบเขต

ในการแก้สมการเพื่อหาค่าศักยะจำเป็นต้องเงื่อนไขของขอบเขตที่ผิวของที่ใบพัดและเวก และที่ขอบเขตถัดล้อมรอบการไหลที่อินพินิตี้ ซึ่งเงื่อนไขที่สำคัญมีอยู่ 2 ข้อ คือ

$$1. \text{ไม่มีการไหลกระおくผ่านผิวของขอบเขต} \quad \frac{\partial \Phi}{\partial n} = 0$$

ความเร็วจากการทำเกรเดียนศักยะในทิศทางดังๆ จากกับผิวจะเท่ากับศูนย์

2. เงื่อนไขที่ปลายทางของใบพัดกับเวกที่ออกจากปลายทาง ที่นิยามว่าไม่มีความแตกต่างระหว่างจุดทั้งสอง นั้นคือ  $\Phi_u = \Phi_r$  และ  $\Phi_v = \Phi_r$  และค่าศักยะในเวกหรือค่าดับเบลต์เวกจะคงที่เท่ากับผลต่างของศักยะ  $\mu_r = \Phi_u - \Phi_r$  ด้วย  $n / +$  และ  $-$  แสดงผิวด้านบน ผิวด้านล่างที่ปลายทางของใบพัด และผิวด้านบน ผิวด้านล่างของเวก ตามลำดับ ดังแสดงในรูปที่ 3



รูปที่ 3 แสดงการแบ่งพานาเลลและค่าดับเบลต์บนพานาเลล

## 2.4 การแบ่งพานาเลลผิวและคำนวณค่าศักยะ

ในการแบ่งผิวเป็นพานาเลลแต่ละพานาเลลจะมีแกนฉาก ( $l, m, n$ ) และมีแกนของใบพัด ( $x, y, z$ ) ที่เป็นแกนที่หมุนไปกับใบพัดเป็นแกนอ้างอิงรวม ซึ่งในการคำนวณค่าที่ส่งอิทธิพลจากพานาเลลจะใช้แกนอ้างอิงนั้นแต่ละพานาเลล

ค่าความเร็วที่เกิดจากการทำเกรเดียนของศักยะ และความเร็วของศักยะอินพินิตี้ ที่ข้างอิงที่แกนที่หมุนสามารถหาได้โดยการกำหนดให้เป็นค่าคงที่เท่ากับความเร็วลมที่ไหลเข้า  $\nabla \Phi_\infty = \vec{U}_r$  และจากเงื่อนไขข้อที่หนึ่งจะได้สมการความเร็วของศักยะรวมที่ตำแหน่งผิวแต่ละพานาเลลกระทำในแนวทิศทางดังๆ จากกับพานาเลลนั้นๆ มีค่าเท่ากับศูนย์

$$\nabla \Phi^+ \cdot \vec{n}_j = \nabla \Phi \cdot \vec{n}_j + (\vec{U}_n) \cdot \vec{n}_j = 0 \quad (6)$$

และความเร็วของศักยภาพที่เกิดจากการเหนี่ยวน่าที่ต่ำแห่งบนผิวพานสันนๆ คือ

$$\begin{aligned} \nabla \Phi_j &= \nabla \left( -\frac{1}{4\pi} \iint_{S_b} \left[ \sigma \frac{1}{r_j} - \mu n_i \cdot \nabla \frac{1}{r_j} \right] dS_i \right. \\ &\quad \left. + \frac{1}{4\pi} \iint_{S_w} \mu_{w_k} n_k \cdot \nabla \frac{1}{r_{jk}} dS_k \right) \end{aligned} \quad (7)$$

ตัวท้าย  $i, j$  บอกตำแหน่งพานสันผิวของใบพัด และ  $k$  บอกตำแหน่งพานส์ที่ผิวเวก และค่าของ  $\mu_{w_k}$  ของดับเบลต์เวกที่ได้จากเงื่อนไขที่ 2 เป็นค่าคงที่เท่ากับค่าศักยภาพของผิวนะของเวกลงด้วยผิวล่างของเวก ซึ่งเท่ากับผลต่างของพานส์ที่ทางออก Trailing edge ดังนั้นมีรวมสมการจะได้สมการที่แก้ปัญหาพานส์ดังนี้

$$\begin{aligned} 0 &= \nabla \left( -\frac{1}{4\pi} \iint_{S_b} \left[ \sigma \frac{1}{r_i} - \mu n_i \cdot \nabla \frac{1}{r_i} \right] dS_i \right. \\ &\quad \left. + \frac{1}{4\pi} \iint_{S_w} \mu_{w_k} n_k \cdot \nabla \frac{1}{r_{ik}} dS_k \right) \cdot n_j + U_\infty \cdot n_j \end{aligned} \quad (8)$$

จากสมการที่ (8) สามารถจัดแยกรูปใหม่ แสดงเป็นค่าสัมประสิทธิ์ที่คูณอยู่กับค่าซอสและดับเบลต์ได้ดังนี้

$$0 = -B_j \sigma_i + C_j \mu_i + C_{jk} \mu_k + U_\infty \cdot n_j \quad (9)$$

โดยที่ค่าสัมประสิทธิ์  $B_j$ ,  $C_j$ , และ  $C_{jk}$  เป็นค่าที่เกิดจากการเหนี่ยนของซอส ดับเบลต์ และดับเบลต์ของเวก บนพานส์ใบพัด  $i$  และพานส์เวก  $k$  จากตำแหน่งที่ของพานส์ใบพัด  $j$  ซึ่งจะหาค่าสัมประสิทธิ์ดังสมการ

$$B_j = \frac{1}{4\pi} \nabla \left[ \iint_{S_b} \frac{1}{r_i} dS_i \right] \cdot n_j \quad (10)$$

$$C_j = \frac{1}{4\pi} \nabla \left[ \iint_{S_w} n_k \cdot \nabla \frac{1}{r_{ik}} dS_k \right] \cdot n_j \quad (11)$$

$$C_{jk} = \frac{1}{4\pi} \nabla \left[ \iint_{S_w} n_k \cdot \nabla \frac{1}{r_{jk}} dS_k \right] \cdot n_j \quad (12)$$

ในการใช้เงื่อนไขที่ 2 เพื่อแก้สมการหาค่าดับเบลต์ที่พานส์บนใบพัด จากการที่ค่าดับเบลต์บนเวกเป็นค่าคงที่เท่ากับผลต่างของค่าดับเบลต์พานส์บนเวกและส่างที่ทางออก Trailing edge ทำให้สามารถคำสัมประสิทธิ์  $C_j$  ที่เกิดจากพานส์บนเวกที่ทางออกนั้นเข้าไว้ที่ค่าสัมประสิทธิ์  $C_j$  ที่ปลายดัดทางนั้นๆ โดยรวมเข้าพานส์บนด้วยการบวก และรวมเข้ากับพานส์ล่างด้วยการลบ ดังนั้นจะรวมค่าสัมประสิทธิ์ที่มาจากการที่ทางออก Trailing edge เดียว กันเข้าด้วยกันเป็นค่าสัมประสิทธิ์รวมเวก  $C_j$  และเพื่อใช้คำนวนหาผลลัพธ์ของสมการได้ง่าย จึงมีค่าสัมประสิทธิ์บนใบพัด  $A_j$  มาแทนค่าสัมประสิทธิ์  $C_j$  แสดงการรวมค่าของเวกเข้าด้วยกัน ดังสมการ  $A_j = C_j$  ถ้าตัวห้อย  $i$  ไม่ใช่พานส์ที่ปลายทางออก และ  $A_j = C_j \pm C_i$  กรณีที่  $i$  เป็นตัวห้อยที่พานส์ล่างด้านบนที่ปลายทางออกจะเป็นเครื่องหมายบวก และจะเป็นเครื่องหมายลบ เมื่อเป็นพานส์ที่ด้านล่างของปลายทางออก สมการที่จะใช้หาผลลัพธ์เป็นดังนี้

$$A_j \mu_i = B_j \sigma_i - U_\infty \cdot n_j \quad (13)$$

ด้านขวามือของสมการสามารถหาได้ และแก้สมการเชิงเส้นจะได้ค่าของดับเบลต์  $\mu_i$  ของบนแต่ละพานส์

#### 2.4 การหาค่าพารามิเตอร์ทางอากาศพลศาสตร์

การหาค่าสัมประสิทธิ์ของความดันจะหาจากค่าของดับเบลต์ที่กระจายบนผิวใบพัด ที่เกิดขึ้นเนื่องจากการเหนี่ยวน่า โดยการทำอนุพันธ์ค่าดับเบลต์จะได้ค่าของความเร็วที่เหนี่ยวน่า และโดยใช้ทฤษฎีของเบรนูลลี่ (Bernoulli's Theorem) จะได้ค่าของความดันเหนี่ยวน่า บนแกนที่ตั้งอยู่บนพานส์แต่ละพานส์ ( $i, m, k$ )

$$q_i = \frac{\partial \mu}{\partial i} \text{ และ } q_m = \frac{\partial \mu}{\partial m} \quad (14)$$

$$p_i = -\frac{1}{2} \rho (|q_i + q_m|)^2 \quad (15)$$

และค่าสัมประสิทธิ์ของความดันที่ต่ำแห่งบนแต่ละพานส์สามารถหา ดังนี้

$$c_{p_i} = \frac{p_i}{\frac{1}{2} \rho U^2} \quad (16)$$

และค่าแรงที่กระทำในทิศทางตั้งฉากต่อผิวของแต่ละพานเฉลี่ยสามารถหาโดยใช้ความดัน

$$F_i = p \Delta S_i \quad (17)$$

รวมค่าของแรงที่เกิดกับทุกพานเฉลี่ยในทิศทางแกน z จะเป็นค่าสัมประสิทธิ์ของแรงยก c, ที่กระทำกับพัดที่เทียบกับพื้นที่เงาของใบพัดซึ่งเป็นตัวสมการที่ (18)

$$c_t = \frac{1}{2} \rho U^2 S \sum_{i=1}^{panel blade} (F_z)_i \quad (18)$$

การหาค่าแรงบิดบนแต่ละพานเฉลี่ยได้โดยใช้รัศมีที่รีจากจุดหมุนไปที่ต่ำแห่งน้ำหนักของแต่ละพานเฉลี่ยครอสโปรดักส์กับค่าแรงบนพานเฉลี่ยในพัดกังหันลม

$$T_i = R_i \times F_i \quad (19)$$

และรวมค่าของแรงบิดจากสมการที่ (19) ของแต่ละพานเฉลี่ยที่หมุนในแกน x และสามารถนำหาค่าของกำลังให้เท่ากับ  $P = \omega \cdot T$  และค่าสัมประสิทธิ์ของกำลังซึ่งเทียบกับพื้นที่หมุนความชองใบพัด

$$C_p = \frac{\omega \cdot T}{\frac{1}{2} \rho U^3 A} \quad (20)$$

โดยที่

$\tau$  เป็นค่าแรงบิดที่กระทำจากการหมุน

$A$ , เป็นพื้นที่อ้างอิงที่ใบพัดหมุนกวดครบรอบ

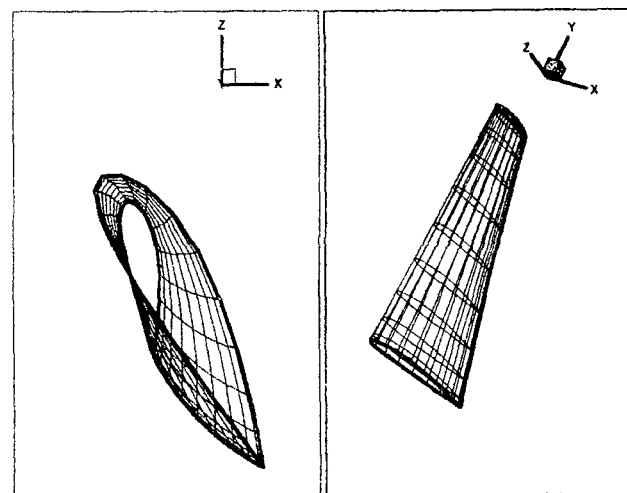
$\rho$  เป็นค่าความหนาแน่นของอากาศ

### 3 ผลลัพธ์จากการคำนวณ

#### 3.1 รูปร่างและตัวแปรกำหนดการคำนวณกังหันลม

กำหนดรูปร่างหน้าตัดของกังหันลมเป็นแพนอย่าง NACA4422 โดยที่ความยาวของคอร์ดที่โคนใบเท่ากับ 0.72 เมตรและจะลดลงเหลือ 0.18 เมตรที่ปลายของใบพัด และใบพัดจะมีมุมบิดเพิ่มขึ้นจากที่โคนใบ  $20^\circ$  ถึงปลายใบ รัศมีของใบพัดกังหันลมจะเท่ากับ 6 เมตร โดยที่ใบพัดจะยาวเท่ากับ 5.4 เมตร ดังรูปที่ 4 มุมประทับทิศทางลม  $\alpha$  ที่โคนใบ ดัง

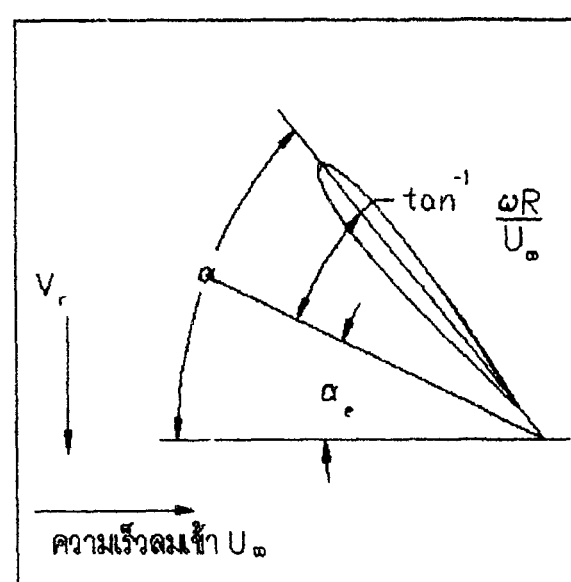
แสดงในรูปที่ 5 ซึ่งใบพัดจะปรับมุมบิดไปตามแนวแพน(span)ของใบพัด และจำนวนใบพัดสองใบ



รูปที่ 4 แสดงใบหน้าตัดของใบพัดกังหันลม

และกำหนดค่าของความเร็วลมและความเร็วรอบของกังหันลม โดยที่สัมพันธ์ของค่าทั้งสองกับรูปร่างคือค่าอัตราส่วนความเร็วปลาย(Tip speed ratio, TSR) ดังในสมการที่ (21) ซึ่งเป็นค่าที่เปรียบเทียบความเร็วที่เกิดจากการหมุนที่ปลายใบกับความเร็วลมที่ไหลผ่านกังหันลม และค่านี้จะเป็นพารามิเตอร์ที่อ้างอิงประสิทธิภาพของกังหันลมตัวหนึ่ง

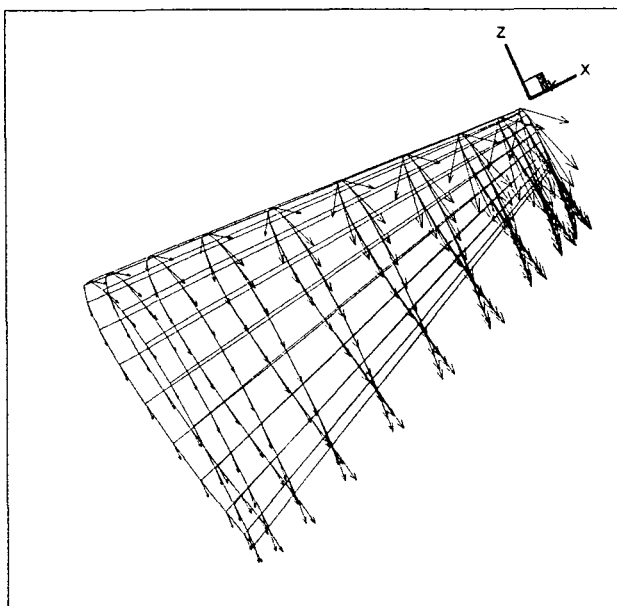
$$TSR = \frac{V_r}{U_\infty} = \frac{\omega R}{U_\infty} \quad (21)$$



รูปที่ 5 แสดงแพนอย่างกับการทั้งมุมประทับ

### 3.2 แสดงผลการคำนวณ

ทิศทางเวกเตอร์ของความเร็ว ณ.ตำแหน่งบนผิวที่ได้จากการคำนวณในพื้นที่ที่ไม่หละลุฝ่านขอบเขตของผิวของใบพัด โดยมีทิศทางข้างๆไปกับผิวของขอบเขต ดังในรูปที่ 6



รูปที่ 6 แสดงเวกเตอร์ของความเร็วนผิวของใบพัด

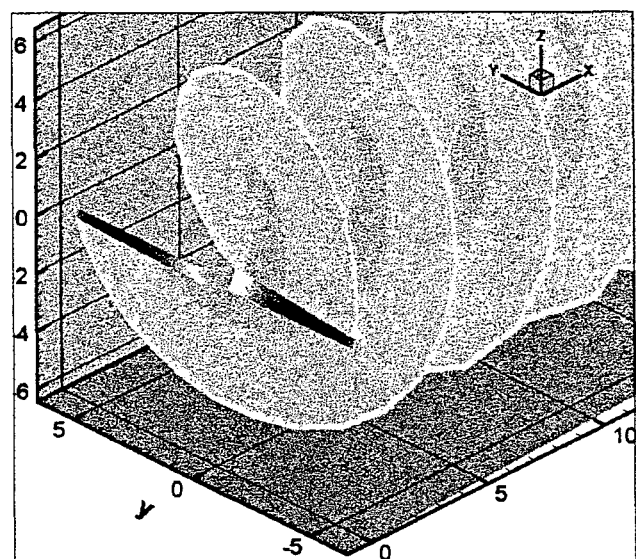
จากการกำหนดใบพัด NACA 4422 ที่ค่าความเร็วลม 12.5 เมตร/วินาที ในพื้นที่จานวน 2 ใน มีมุมปะทะเท่ากับ  $68^\circ$  โดยมีความเร็วเชิงมุม เท่ากับ 8.75 เรเดียน/วินาที จะมีค่า TSR เท่ากับ 4.2 จะได้ค่าของแรงยกเท่ากับ 765 นิวตัน ค่าแรงบิดเท่ากับ 2504 นิวตันเมตร และได้กำลังเท่ากับ 21908 วัตต์ และเมื่อคิดค่าสัมประสิทธิ์ของกำลังจะได้เท่ากับ 0.1626

เปลี่ยนรูปแบบของใบพัด NACA 4412 ที่ค่าความเร็วลม 12.5 เมตร/วินาที ในพื้นที่จานวน 2 ใน มีมุมปะทะเท่ากับ  $68^\circ$  ความเร็วเชิงมุม เท่ากับ 8.75 เรเดียน/วินาที จะมีค่า TSR เท่ากับ 4.2 จะได้ค่าของแรงยกเท่ากับ 509 นิวตัน ค่าแรงบิดเท่ากับ 1503 นิวตันเมตร และได้กำลังเท่ากับ 13155 วัตต์ และเมื่อคิดค่าสัมประสิทธิ์ของกำลังจะได้เท่ากับ 0.09763

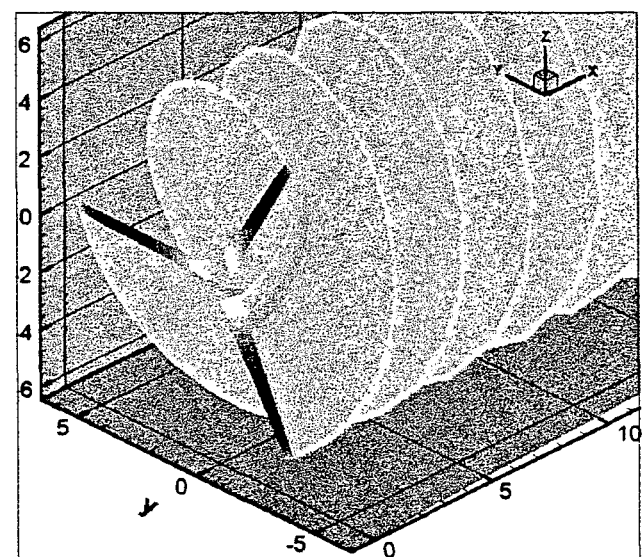
เพิ่มใบพัดเป็น 3 ใน ใช้ใบพัดแผนอากาศ NACA 4422 ที่ขนาดใบเท่าเดิม มุมบิดเหมือนเดิม มีมุมปะทะเท่ากับ  $68^\circ$  ความเร็วลม 12.5 เมตร/วินาที ความเร็วเชิงมุม เท่ากับ 8.75 เรเดียน/วินาที จะมีค่า TSR เท่ากับ 4.2 จะได้ค่าของแรงยกเท่ากับ 1014 นิวตัน ค่าแรงบิดเท่ากับ 3370 นิวตันเมตร และ

ได้กำลังเท่ากับ 29492 วัตต์ และเมื่อคิดค่าสัมประสิทธิ์ของกำลังจะได้เท่ากับ 0.2188736

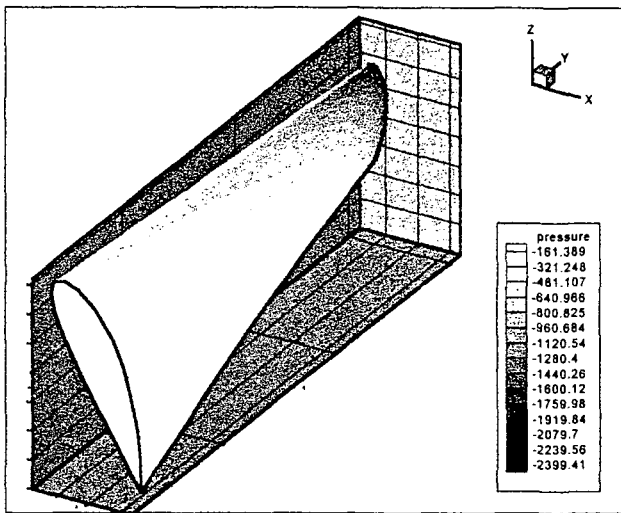
สำหรับค่าความดันที่เกิดจากการหมุนบนผิวของใบพัดแสดงดังในรูปที่ 9 และเปรียบเทียบใบพัดรูปร่างโปรดไฟล์แบบต่างๆกัน ระหว่าง NACA4422 NACA4412 และ NACA0022 มุมปะทะ  $68^\circ$  และมุมบิดใน  $20^\circ$  จำนวนใบ 2 ใบและ 3 ใบ โดยคงที่ค่าความเร็วลมเปลี่ยนแปลงค่าความเร็วเชิงมุม จะเปลี่ยนแปลงค่าอัตราส่วนความเร็วปลายใบ แสดงในรูปที่ 10



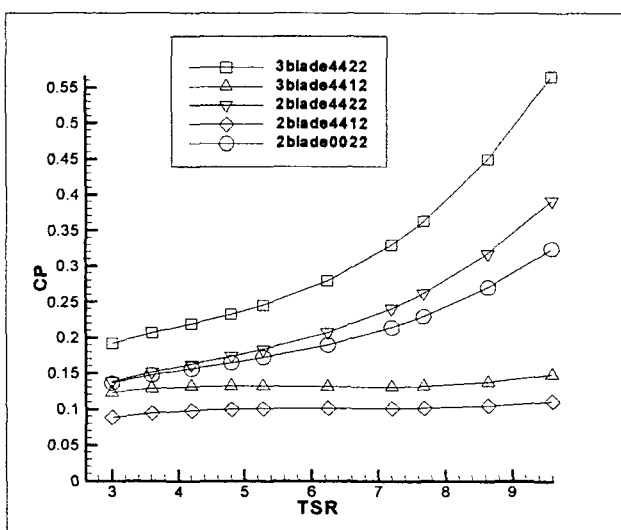
รูปที่ 7 กังหันลมใบพัดสองใบ



รูปที่ 8 กังหันลมใบพัดสามใบ



รูปที่ 9 รูปการกระจายของความดันบนผิวของใบพัด



รูปที่ 10 แสดงค่าเปรียบเทียบ TSR กับ  $C_p$  ของใบพัดแบบต่างๆ

#### 4. สรุปผลการวิเคราะห์

การวิเคราะห์จากวิธีพานิลโดยแบ่งผิวและให้เงื่อนไขการให้อบนผิวแบบศักยะ และสามารถคำนวณแรงบิดและกำลังของใบพัดกังหัน โดยที่แสดงออกถึงรูปร่างของใบพัดซึ่งเปลี่ยนจากการคำนวณจากแบบของแพนอากาศ NACA4422 มาเป็น NACA0022 หรือแม้กระทั่งการเพิ่มจำนวนใบพัดของกังหันลมจะมีผลต่อกำลังที่ได้จากกังหันลม

การใช้วิธีพานิลวิเคราะห์กังหันลมโดยการกำหนดรูปร่างและกำหนดสภาวะการทำงานที่ค่าอัตราส่วนความเร็วปลายค่าหนึ่งจะสามารถใช้เปรียบเทียบรูปร่างของใบพัดกังหันลมหรือสามารถที่จะพัฒนารูปแบบของใบพัดที่จะสร้างได้ โดยที่

การคำนวณแบบนี้จะเหมือนกับการคำนวณผ่านรูปร่างจริงของใบพัดกังหันลม

#### สัญญาลักษณ์

$\Phi$  ศักยะ

$$\sigma = \frac{\partial \Phi}{\partial n} \quad \text{ค่าซอส(Source)}$$

$\vec{g}$  เป็นเวกเตอร์กระทำด้านหลังผิวพานิล

$\mu = \Phi$  ค่าดับเบลต์(Doublet) เป็นศักยะบนผิวใบพัด

$U_\infty$  ความเร็วลม

$\omega$  ความเร็วเชิงมุม

$\alpha$  มุมปะทะที่แกนกลางของคอร์ดใบทำกับทิศทางลม

$TSR$  ค่าอัตราส่วนความเร็วปลายใบ

$c_p$  สัมประสิทธิ์ของความดัน

$c_l$  สัมประสิทธิ์ของแรงยก

$F$  แรงยกที่กระทำกับใบพัด

$T$  แรงบิดที่กระทำในการหมุน

$C_P$  สัมประสิทธิ์ของกำลัง

#### เอกสารอ้างอิง

- [1]. Robert E. Wilson, Ph.D. "Aerodynamic Behavior of Wind Turbines", in Wind Turbine Technology edited by David A. Spera, The American Society of Mechanical Engineers, New York, 2nd printing, 1995
- [2] David M. Eggleston; and Forrest S. Stoddard. "Wind Turbine Engineering Design", Van Nostrand Reinhold, New York USA, 1987
- [3]. Joseph Katz; and Allen Plotkin. "Low-Speed Aerodynamics From Wing Theory to Panel Methods", McGraw-Hill series in aeronautical and aerospace engineering, Singapore, 1991
- [4]. Luigi Morino. "Boundary integral equations in aerodynamics", Appl Mech Rev vol 46, no 8, August 1993
- [5]. Robert D. Preuss; Emill O. Suci; and Luigi Morino. "Unsteady Potential Aerodynamics of Rotors with Applications to Horizontal-Axis Windmills", AIAA Journal, vol. 18, no 4, 1980, pp. 385-393